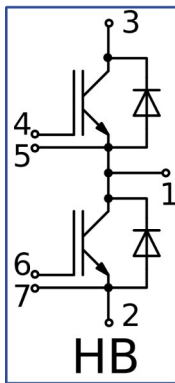
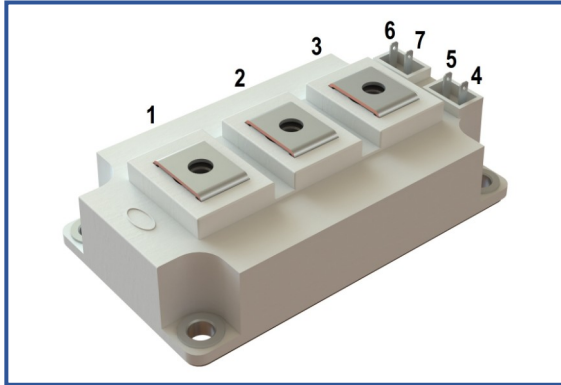


IGBT модуль в стандартном корпусе 62мм
1700 В 150 А


Особенности чипов

- IGBT чип
 - Trench FS
 - низкое значение $U_{CE(sat)}$
 - длительность КЗ 10 мкс при 150°C
 - квадратная область RBSOA при $2xI_C$
 - низкое ЭМИ
- FRD чип
 - быстрое и мягкое восстановление
 - низкое падение напряжения

Особенности конструкции

- медное основание
- Al_2O_3 DBC подложки
- ультразвуковая приварка силовых выводов
- улучшенная стойкость к термоциклам
- соответствие RoHS

Типовые применения

- приводы двигателей переменного тока
- преобразователи на основе солнечных батарей
- системы кондиционирования воздуха
- преобразователи высокой мощности и ИБП

Предельно допустимые значения параметров

Параметр	Обозн.	Условия	Знач.	Ед.
IGBT				
Напряжение коллектор-эмиттер	U_{CES}	$U_{GE} = 0$.	1700	В
Максимально допустимый постоянный ток коллектора	$I_{C 25}$	$T_{vj(max)} = 175^\circ C; T_c = 25^\circ C$.	-	А
	$I_{C 80}$	$T_{vj(max)} = 175^\circ C; T_c = 80^\circ C$.	150	А
Максимальный повторяющийся импульсный ток коллектора*1	I_{CRM}	$I_{CRM} = 2 \times I_{C nom}; t_p = 1 \text{ мс}$.	300	А
Длительность импульсного тока короткого замыкания	t_{psc}	$T_{vj} = 25^\circ C; U_{GE} = \pm 15 \text{ В}; U_{CE} = 700 \text{ В}; R_{G on} = R_{G off} = 2.2 \text{ Ом}; I_{Cmax} < 930 \text{ А}$.	10	мкс
		$T_{vj} = 150^\circ C; U_{GE} = \pm 15 \text{ В}; U_{CE} = 700 \text{ В}; R_{G on} = R_{G off} = 2.2 \text{ Ом}; I_{Cmax} < 800 \text{ А}$.	10	
Напряжение затвор-эмиттер	U_{GES}		± 20	В
Рабочая температура перехода	$T_{vj(op)}$		-40...+150	°C
Диод чоппера\Обратно-параллельный диод.				
Повторяющееся импульсное обратное напряжение	U_{RRM}	$U_{GE} = 0 \text{ В}$.	1700	В
Максимально допустимый постоянный прямой ток	$I_F 25$	$T_{vj(max)} = 175^\circ C; T_c = 25^\circ C$.	-	А
	$I_F 80$	$T_{vj(max)} = 175^\circ C; T_c = 80^\circ C$.	150	А
Повторяющийся прямой импульсный ток*1	I_{FRM}	$I_{FRM} = 2 \times I_{F nom}; t_p = 1 \text{ мс}$.	300	А
Рабочая температура перехода	$T_{vj(op)}$		-40...+150	°C
Модуль				
Температура хранения	T_{stg}		-40...+50	°C
Напряжение пробоя изоляции	U_{isol}	AC sin 50 Гц; $t = 1 \text{ мин}$.	4000	В

*1 Длительность импульса и частота повторения должна быть такой, чтобы температура перехода не превышала $T_{vj max}$.

Характеристики

Параметр	Обозн.	Условия	Знач.			Ед.		
			мин.	тип.	макс.			
IGBT								
Напряжение насыщения коллектор-эмиттер	U_{CEsat}	$U_{GE} = +15\text{ В}; I_C = 150\text{ А}; t_u = 1000\text{ мкс.}$	$T_{vj} = 25^\circ\text{C}$	-	1.93	2.35	В	
			$T_{vj} = 150^\circ\text{C}$	-	2.34	2.80	В	
Пороговое напряжение затвор-эмиттер	$U_{GE(th)}$	$I_C = 6\text{ мА}; U_{CE} = U_{GE}; T_{vj} = 25^\circ\text{C}; t_u = 2\text{ мс.}$		4.90	5.50	6.10	В	
Ток утечки коллектор-эмиттер	I_{CES}	$U_{CE} = 1700\text{ В}; t_u = 50\text{ мс}; U_{GE} = 0.$	$T_{vj} = 25^\circ\text{C}$	-	-	100	мкА	
			$T_{vj} = 150^\circ\text{C}$	-	-	20	мА	
Ток утечки затвор-эмиттер	I_{GES}	$U_{CE} = 0; U_{GE} = \pm 20\text{ В}; T_{vj} = 25^\circ\text{C}; t_u = 30\text{ мс.}$		-	-	100	нА	
Входная ёмкость	C_{ies}	$U_{CE} = 25\text{ В}; U_{GE} = 0\text{ В};$		-	17.20	-	нФ	
Обратная передаточная ёмкость	C_{res}	$f = 1\text{ МГц}; T_{vj} = 25^\circ\text{C.}$		-	0.50	-	нФ	
Заряд затвора	Q_G	$I_C = 150\text{ А}; U_{CE} = 920\text{ В}; U_{GE} = -15...+15\text{ В.}$		-	-	1650	нКл	
Встроенный резистор затвора	R_{Gint}	$T_{vj} = 25^\circ\text{C.}$		-	4.30	-	Ом	
Время задержки включения	$t_{d(on)}$	$U_{CE} = 920\text{ В}; U_{GE} = \pm 15\text{ В}; I_{Cmax} = 150\text{ А}; R_G = 2.2\text{ Ом}; L_s = 56\text{ нГн.}$	$T_{vj} = 25^\circ\text{C}$	-	-	205	нс	
			$T_{vj} = 150^\circ\text{C}$	-	-	254		
Время нарастания тока коллектора	t_{ri}		$T_{vj} = 25^\circ\text{C}$	-	-	66	нс	
			$T_{vj} = 150^\circ\text{C}$	-	-	72		
Энергия потерь при включении	E_{on}		$T_{vj} = 25^\circ\text{C}$	-	-	34.0	мДж	
			$T_{vj} = 150^\circ\text{C}$	-	-	53.0		
Время задержки выключения	$t_{d(off)}$		$T_{vj} = 25^\circ\text{C}$	-	-	435	нс	
			$T_{vj} = 150^\circ\text{C}$	-	-	533		
Время спада тока коллектора	t_{fi}		$T_{vj} = 25^\circ\text{C}$	-	-	448	нс	
			$T_{vj} = 150^\circ\text{C}$	-	-	498		
Энергия потерь при выключении	E_{off}		$T_{vj} = 25^\circ\text{C}$	-	-	32.0	мДж	
			$T_{vj} = 150^\circ\text{C}$	-	-	47.0		
Пороговое напряжение коллектор-эмиттер	U_{CE0}	$U_{GE} = +15\text{ В}; T_{vj} = 150^\circ\text{C}; I_{CE1} = 38\text{ А}; I_{CE2} = 150\text{ А}; t_u = 1000\text{ мкс.}$		-	-	1.05	В	
Динамическое сопротивление	r_{CE0}			-	-	8.99	МОм	
Тепловое сопротивление переход-корпус	$R_{th(j-c)}$	$DC; I_{CE} = 150 \pm 10\text{ А}; I_{test} = 1.0\text{ А}; U_{GE} = +15\text{ В.}$		-	-	0.140	К/Вт	
Диод чоппера/Обратно-параллельный диод.								
Постоянное прямое напряжение	U_F	$I_F = 150\text{ А}; U_{GE} = 0; t_u = 1000\text{ мкс.}$	$T_{vj} = 25^\circ\text{C}$	-	2.18	2.70	В	
			$T_{vj} = 150^\circ\text{C}$	-	2.35	2.80	В	
Время обратного восстановления	t_{rr}	$U_{GE} = \pm 15\text{ В}; U_{CE} = 920\text{ В}; I_{Cmax} = 150\text{ А}; R_{Gon} = 2.2\text{ Ом}; L_s = 56\text{ нГн.}$	$T_{vj} = 25^\circ\text{C}$	-	-	300	нс	
			$T_{vj} = 150^\circ\text{C}$	-	-	600	нс	
Импульсный обратный ток	I_{RM}		$T_{vj} = 25^\circ\text{C}$	-	-	121	А	
			$T_{vj} = 150^\circ\text{C}$	-	-	134	А	
Заряд восстановления	Q_r		$T_{vj} = 25^\circ\text{C}$	-	-	27.0	мкКл	
			$T_{vj} = 150^\circ\text{C}$	-	-	49.0	мкКл	
Энергия потерь при обратном восстановлении	E_{rec}		$T_{vj} = 25^\circ\text{C}$	-	-	16.0	мДж	
			$T_{vj} = 150^\circ\text{C}$	-	-	31.0	мДж	
Пороговое напряжение	$U_{(T0)}$		$T_{vj} = 150^\circ\text{C}; U_{GE} = 0; I_{CE1} = 38\text{ А};$		-	-	1.05	В
Динамическое сопротивление	r_T		$I_{CE2} = 150\text{ А}; t_u = 1000\text{ мкс}$		-	-	9.20	МОм
Тепловое сопротивление переход-корпус	$R_{th(jc-D)}$		$DC; I_{CE} = 120 \pm 10\text{ А}; I_{test} = 1.0\text{ А}; U_{GE} = +15\text{ В.}$		-	-	0.160	К/Вт

Модуль							
Сопротивление выводов	R_{Pxy}	$T_{vj} = 25^{\circ}\text{C}$.	R_{P12}	-	0.28	0.50	мОм
			R_{P13}	-	0.38	0.50	
Паразитная индуктивность модуля между силовыми выводами	L_{Pce}			-	22	-	нГн
Тепловое сопротивление корпус-охладитель	R_{thCH}	для модуля		-	0.02	0.04	К/Вт
Момент затягивания винтов корпуса	M_s	к охладителю М6		3	-	5	Н*м
Момент затягивания на силовых выводах	M_t	к клеммам М6		2.25	2.50	2.75	Н*м
Вес	W			-	318	340	г

“ - ” — данные будут уточняться по мере набора статистики и проведения дополнительных испытаний.

Примечания:

- Рабочая температура корпуса и изоляционных материалов не должна превышать $T_c = 125^{\circ}\text{C}$ макс;
- Рекомендуемая рабочая температура кристалла $T_{vj (op)} = -40...+150^{\circ}\text{C}$.

